

高速度での堆積岩への クレーター形成実験

CPS衝突実験実習成果報告会

2012/12/11

B班：木内 真人、河本 泰成、松本 恵里
(神戸大)

背景

- 惑星や衛星は形成過程において、様々な衝突イベントを経験している
 - 衝突クレーターを形成
 - 衝突クレーターを解析してわかること
 - インパクターのサイズ、速度、軌道、数や頻度、また衝突前後の環境変化
- ✧ 多くの衝突クレーターは45°以下で衝突すると考えられている
- ✧ 数mサイズのクレーター形成は、重力よりもターゲット強度が支配的である
- ✧ 小天体などの小さな重力場上で形成されるクレーターは、強度に支配されている



Image courtesy U. Arizona/[NASA](#)

↑衝突起源と考えられる
火星クレーター

先行研究

- クレーター形成斜め衝突実験 (Goult, 1978)
 - 弾丸：アルミニウム球、パイレックス球、レクサン円柱
 - 標的：グラナイト、pumice powder、珪砂
 - 衝突速度：0.05~7.2km/s
- クレーター形状、体積などに衝突角度依存性

- ✧ 実際の衝突は斜め衝突が支配的
- ✧ 火星において、広く堆積岩が確認されている
 - 探査や観測は着実に進歩している
 - 堆積岩を用いた（強度支配域の）実験は、多く行われていない



←キュリオシティーが撮影した
火星表面の堆積岩

Image courtesy MSSS/NASA

先行研究

- クレーター形成斜め衝突実験 (Goult, 1978)
弾丸：アルミニウム、パイレックス球、レクサン円柱

挿入：バーネル テナテ小

強度支配域での斜め衝突実験を行い、
形成されたクレーターやエジェクタを観察、
πスケーリングを用いて過去のデータと比較する

堆積岩を用いた（強度支配域の）実験は、多く行われていない

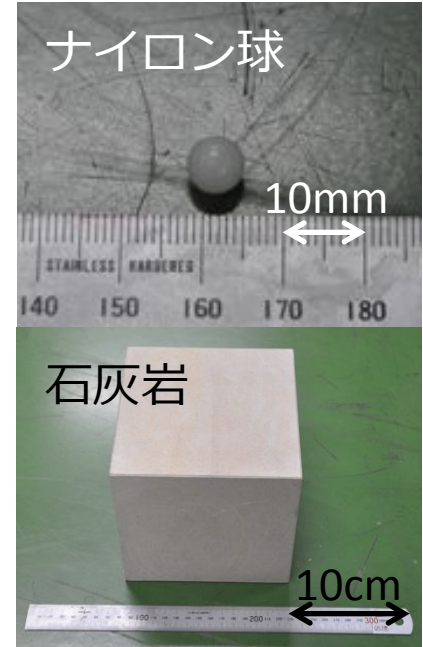
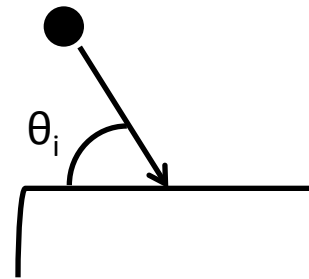


←キュリオシティーが撮影した
火星表面の堆積岩

Image courtesy MSSS/NASA

実験方法

- 弾丸：直径7mmナイロン球(密度 $1.13\text{g}/\text{cm}^3$)
- 標的：15cm立方体石灰岩(密度 $2.24\text{g}/\text{cm}^3$)
- 衝突速度 $v_i \sim 2.5\text{km}/\text{s}$
- 衝突角度 $\theta_i = 90^\circ$ (正面衝突), $45^\circ, 30^\circ, 20^\circ, 10^\circ, 5^\circ$
- 高速度カメラ：45016fps



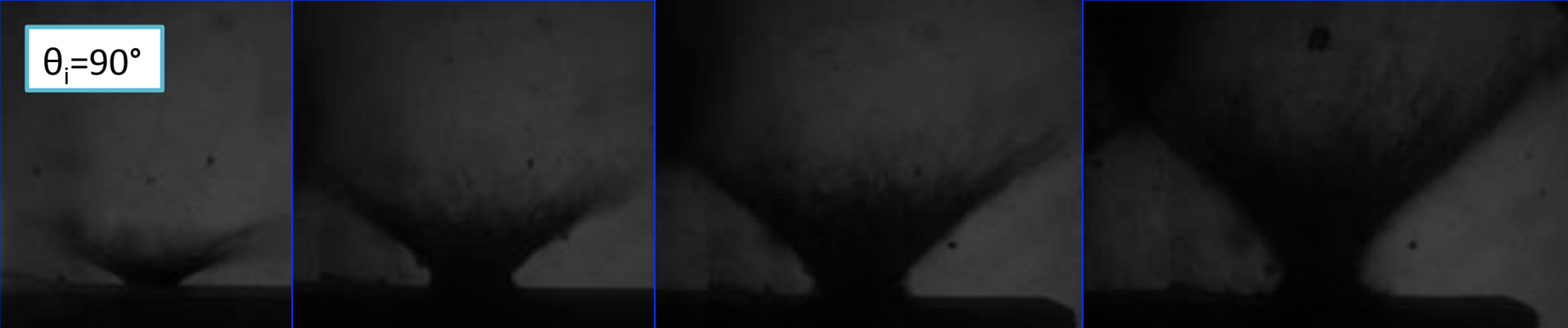
二段式軽ガス銃@宇宙研



衝突の様子

$v_i \sim 2.5 \text{ km/s}$

動画は省略します

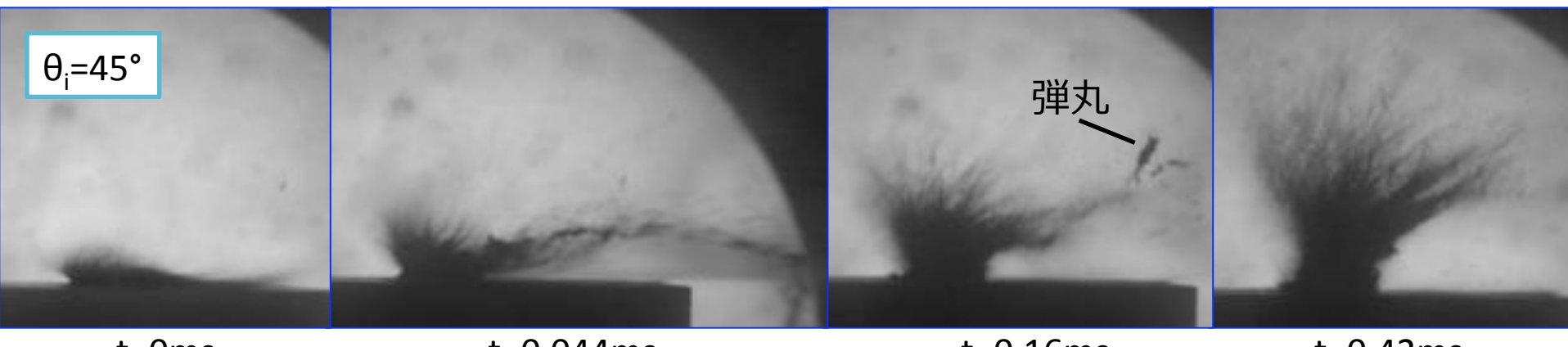
$\theta_i=90^\circ$ 

t=0ms

t=0.067ms

t=0.16ms

t=0.47ms

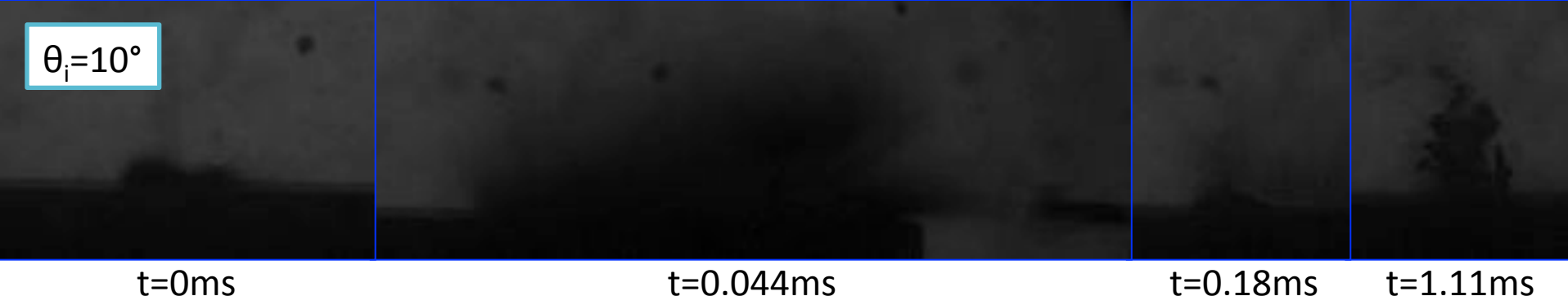
 $\theta_i=45^\circ$ 

t=0ms

t=0.044ms

t=0.16ms

t=0.42ms

 $\theta_i=10^\circ$ 

t=0ms

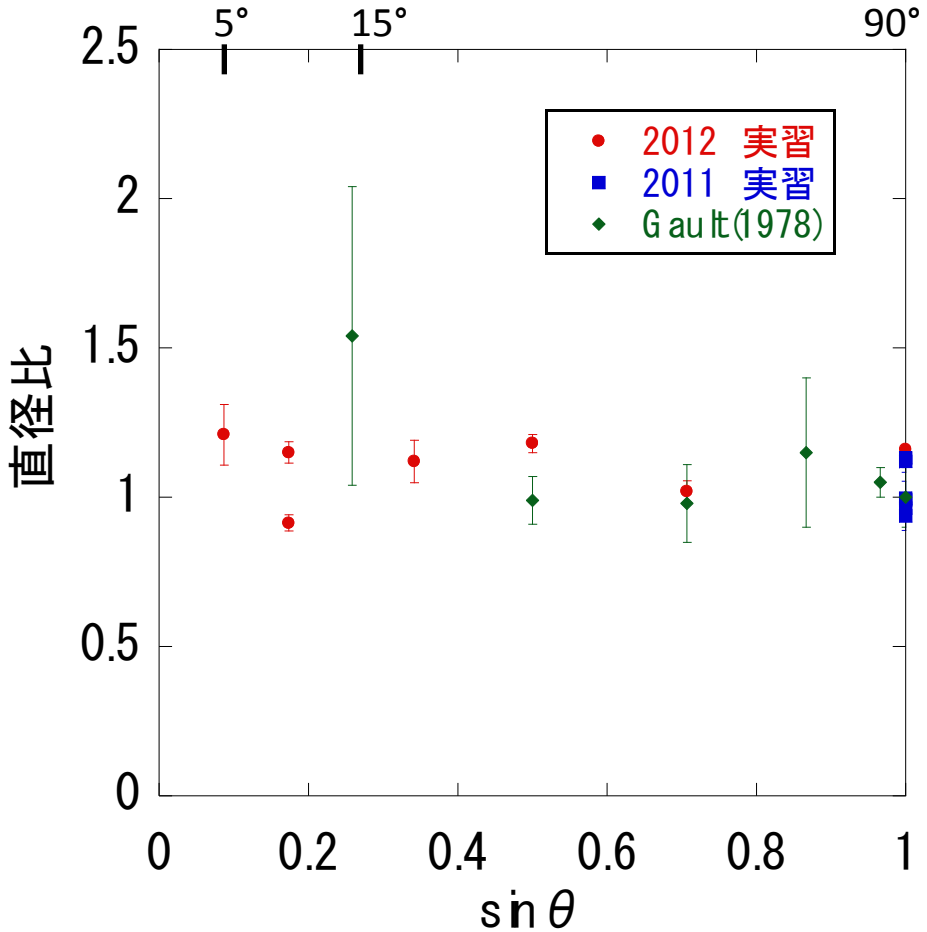
t=0.044ms

t=0.18ms

t=1.11ms

クレーターの写真が並んでいたスライドですが
容量が大きすぎて添付できませんでしたので
省略致します

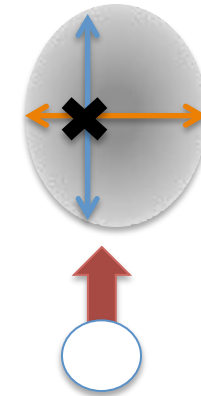
クレータ一直径比



- ◆ 直径比…進行方向 / 直交方向
- ◆ 衝突角度が浅くなても直径比は大きく変わらない($\theta=5^\circ$ で1.2)
- ◆ 2011年の実習での砂岩への垂直衝突実験のデータより、 $\theta=90^\circ$ では0.95～1.15
- ◆ Gault(1978)のデータと比較
標的…グラナイト($2.56\text{g}/\text{cm}^3$)
弾丸…アルミニウム球($2.7\text{g}/\text{cm}^3$)
衝突速度… $2.1\text{--}7.0\text{km}/\text{s}$
 $\Rightarrow \theta=15^\circ$ で円形から逸脱
 \Rightarrow プロジェクトイルの違いが原因?

クレータープロファイル

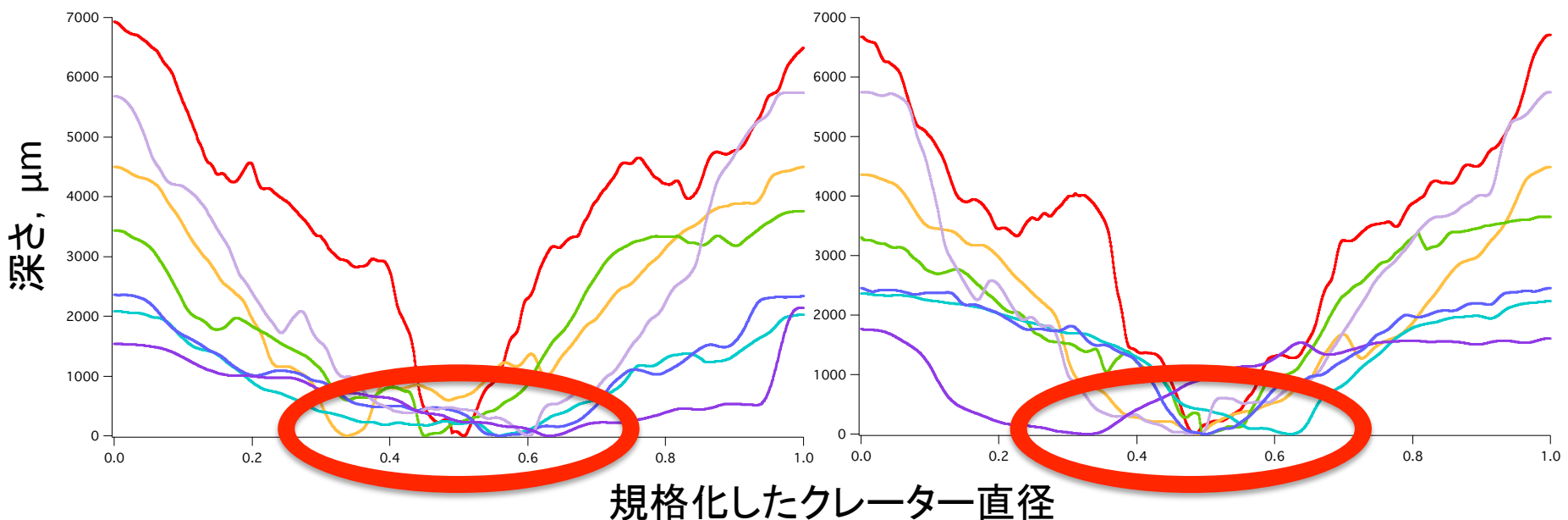
- クレーターにおいて、最も深い点でのプロファイルを測定
- 下図は最深点を通るような直径を1として規格化している
➤ 進行（横）方向直径とは必ずしも一致しない
- 衝突角度の減少に伴って、深さも浅くなっている



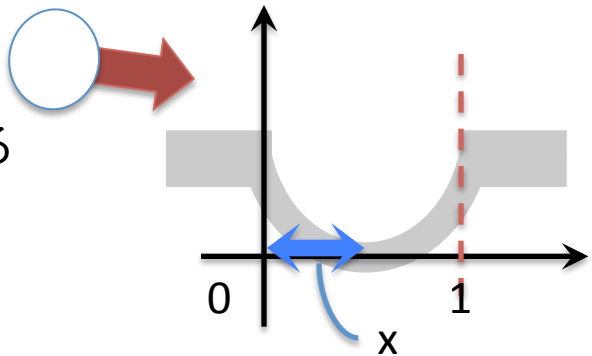
— 90°
— 30°
— 20°
— 10°
— 10°
— 45°
— 5°

進行方向のプロファイル

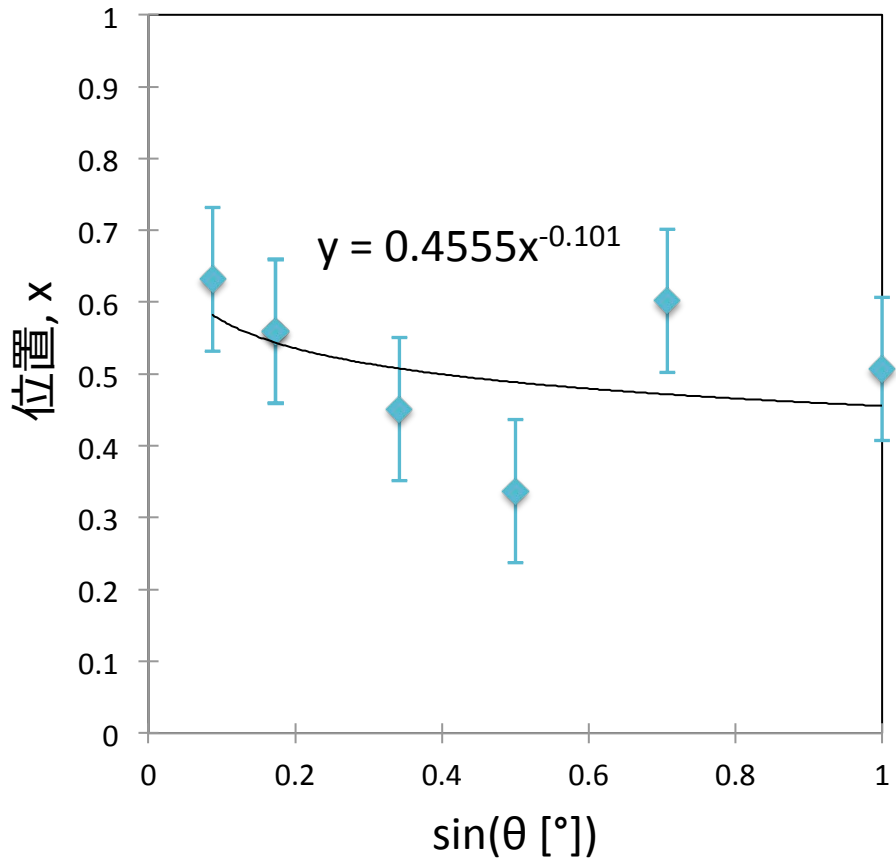
垂直方向のプロファイル



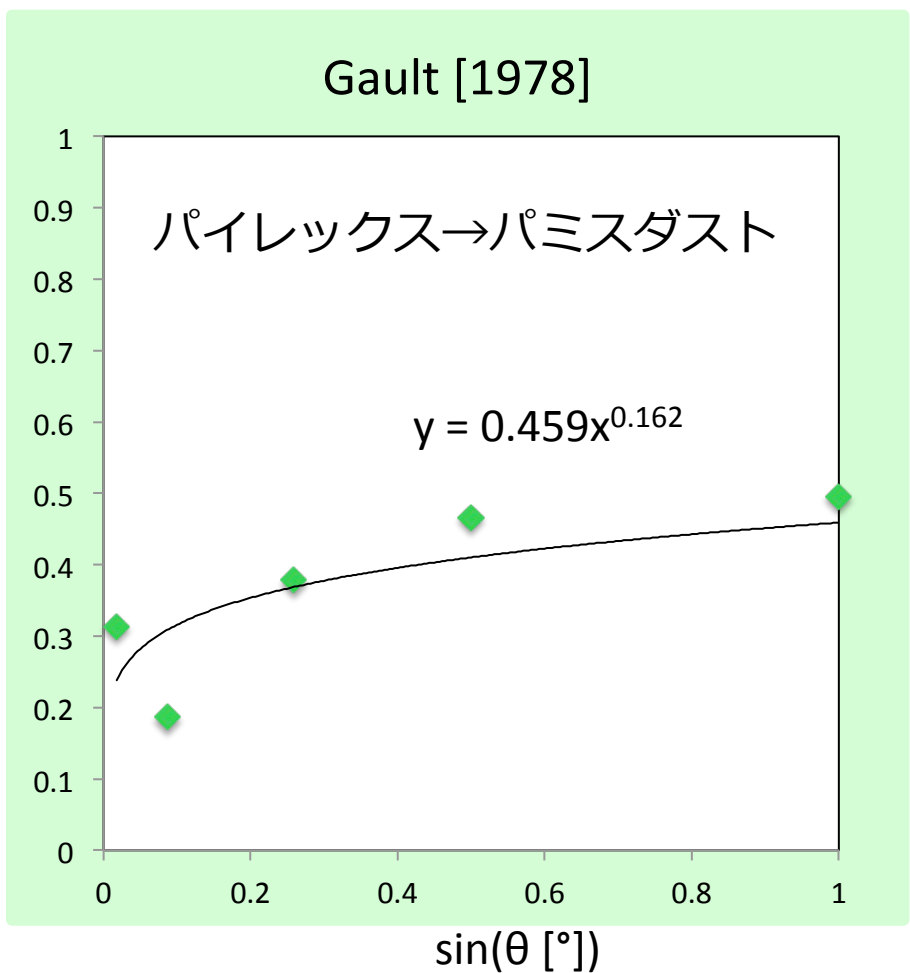
- 90°での衝突クレーターは中心が最も深い
- 横方向：ほとんどの角度で中心が最深となっている
- 進行方向：角度が低くなると、 x が増加
 - Gault [1978] の実験では、進行方向について角度が低くなると x も共に減少した



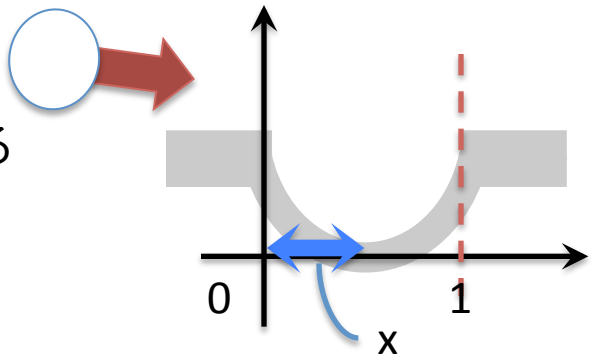
進行方向プロファイルの最深



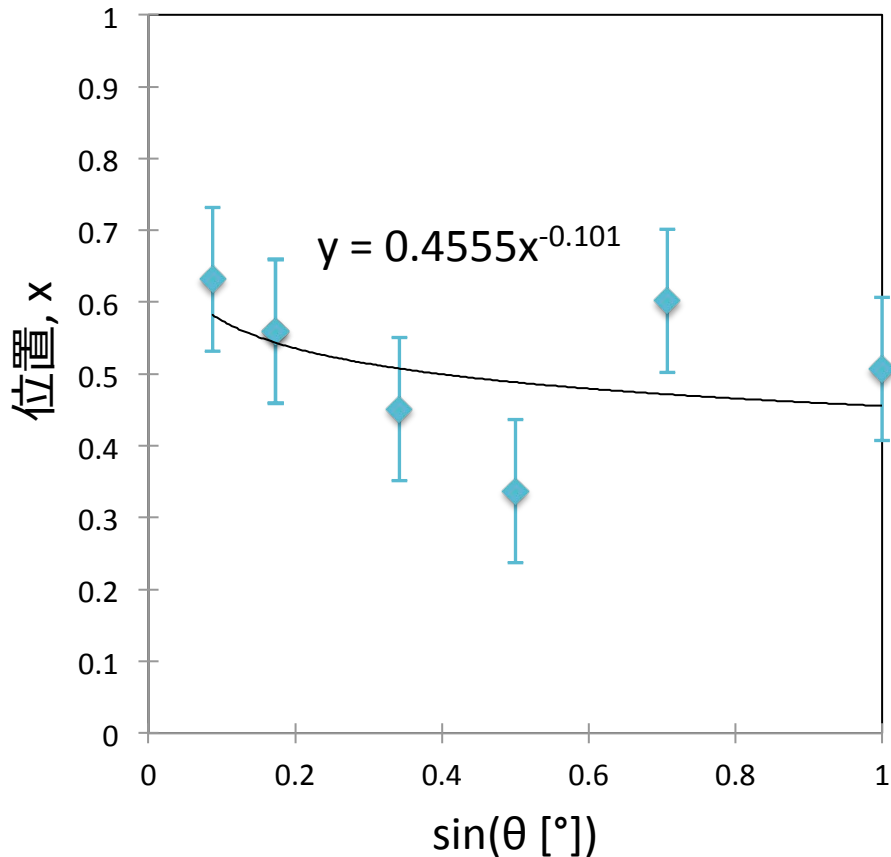
Gault [1978]



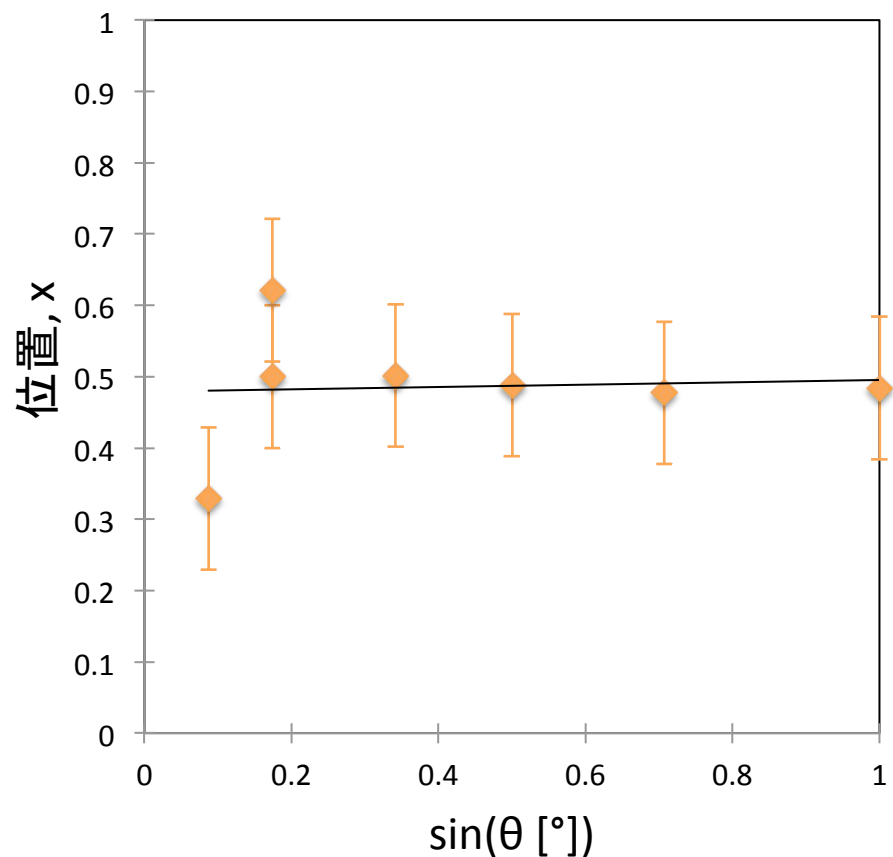
- 90° での衝突クレーターは中心が最も深い
- 横方向：ほとんどの角度で中心が最深となっている
- 進行方向：角度が低くなると、 x が増加
 - Gault [1978] の実験では、進行方向について角度が低くなると x も共に減少した



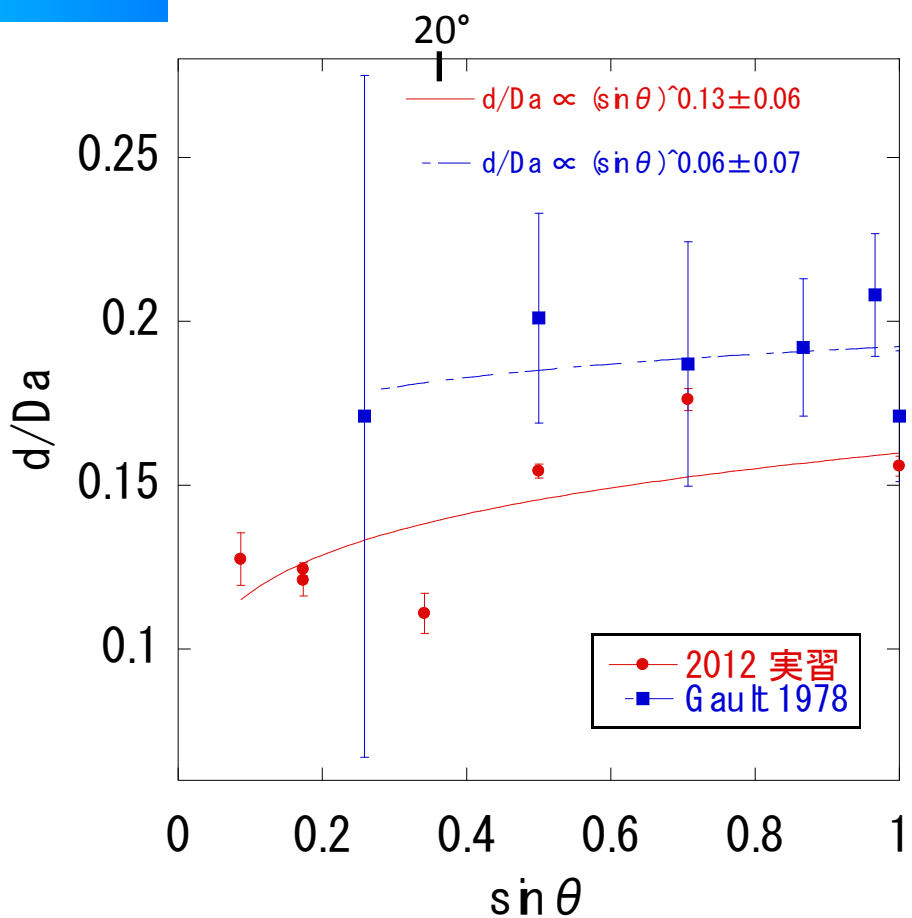
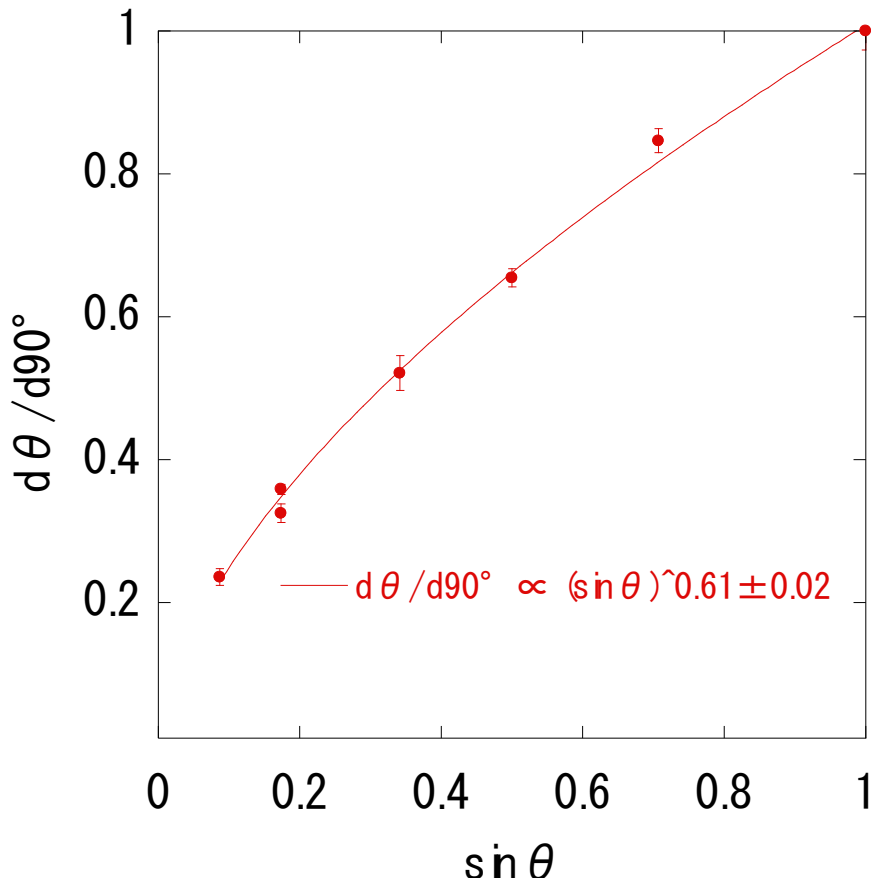
進行方向プロファイルの最深



横方向プロファイルの最深

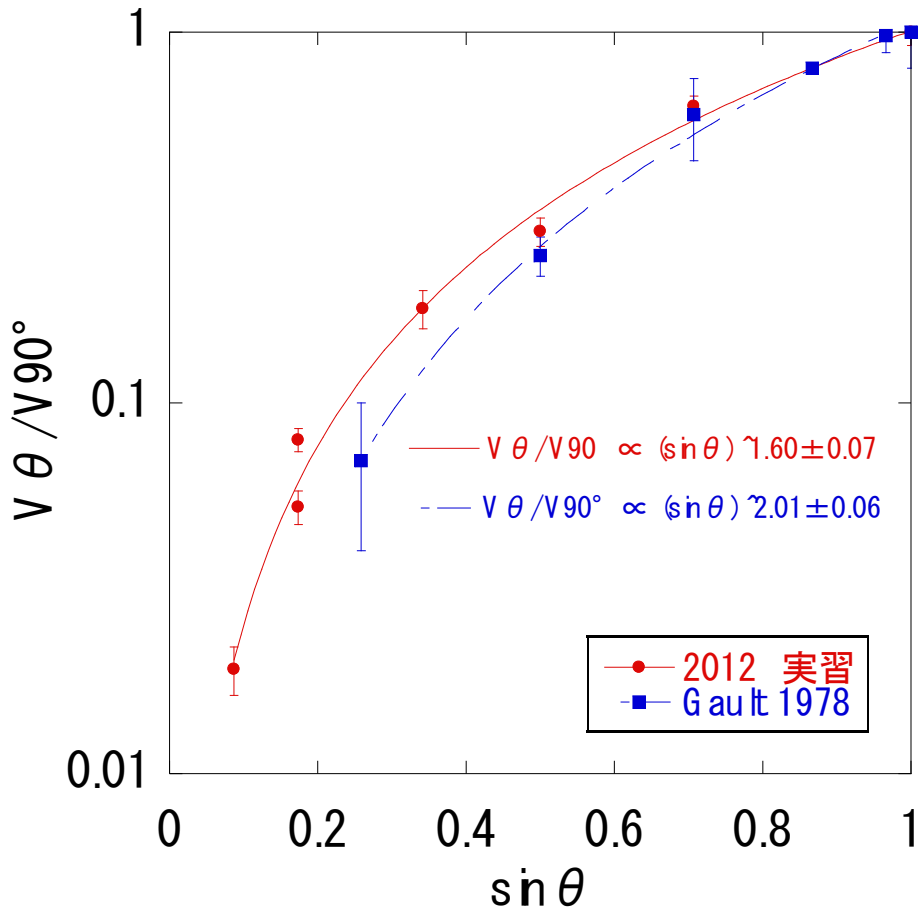


クレーター深さ



- ◆ クレーター深さは、衝突角度が小さくなるにつれて浅くなる(左図)
- ◆ 深さdを平均直径 D_a で規格化(右図)
- $D_a = (\text{進行方向直径} + \text{直交方向直径})/2$
- ◆ 直径に対する深さは $\theta=20^\circ$ 以下で小さくなるが、Gault(1978)ではほぼ一定

クレータ一体積



- ◆ $\theta=90^\circ$ のクレータ一体積で規格化
- ◆ 衝突角度が小さくなると減少
 $\Rightarrow (\sin \theta)^{1.60}$ に比例して減少
- ◆ Gault(1978)の結果に近い

πスケーリング

クレーター効率 : $\pi_v = V \rho_t / m_p$

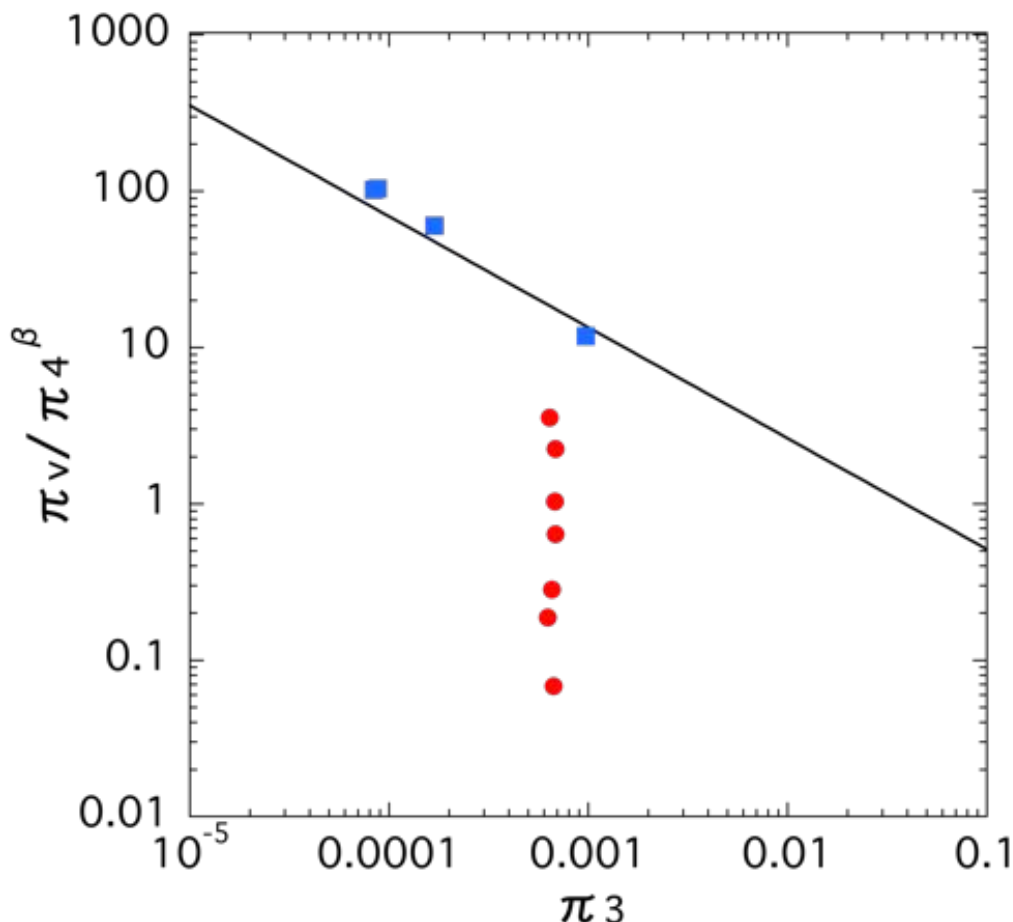
規格化強度 : $\pi_3 = Y / \rho_p v_i^2$

規格化弾丸密度 : $\pi_4 = \rho_t / \rho_p$ (=const.)

- 衝突角度が浅くなるにつれて、クレーター体積も減少
- suzuki et al., 2012のデータと比較すると1桁小さい
➤ クレーター効率悪い

	今回	suzuki et al.
V_i [km/s]	2.4~2.5	2~6.9
弾丸直径 [mm]	7	1~3.2
ρ_t [g/cm ³]	2.24	2.3
Y [MPa]	4.6	4.6
ターゲット	石灰岩	砂岩

- 弾丸の直径及び衝突速度
- 振発性物質が影響?



- 今回の実験
- Suzuki et al., 2012 ナイロン弾丸
- Suzuki et al., 2012 fitting line

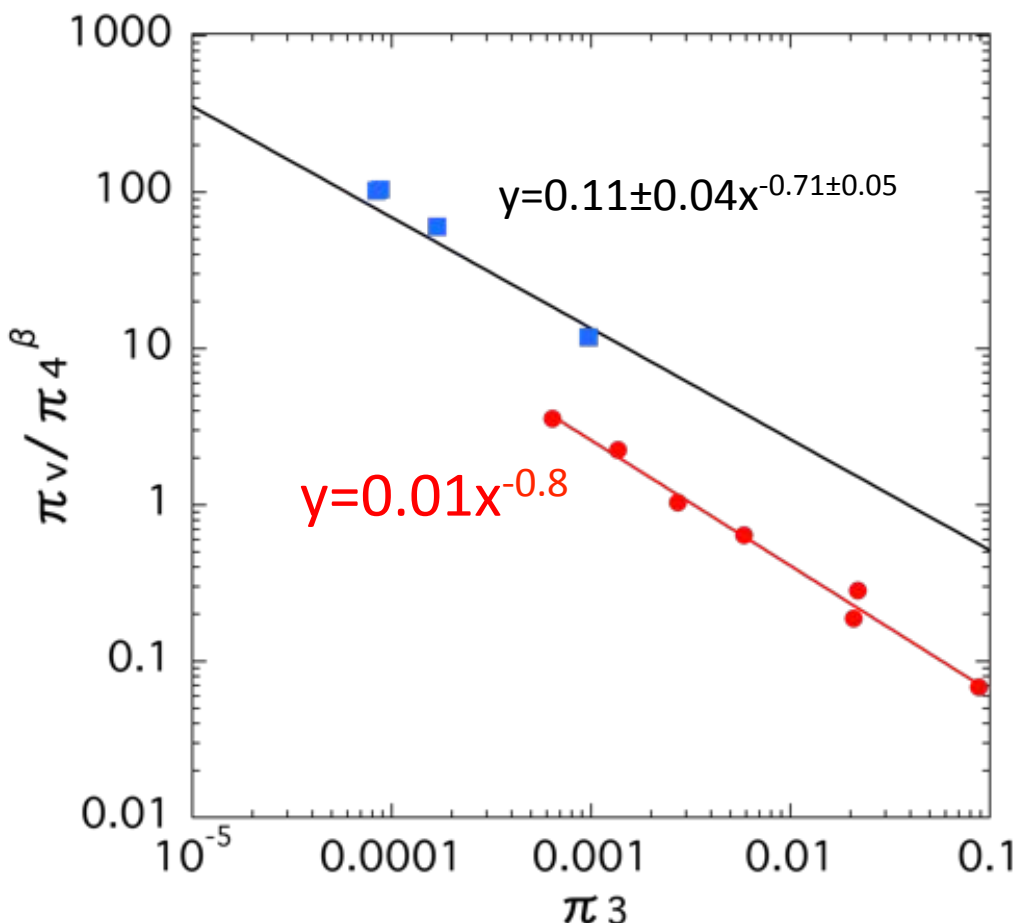
πスケーリング

クレーター効率 : $\pi_v = \sqrt{V} \rho_t / m_p$

規格化強度 : $\pi_3 = Y / \rho_p (v_i \sin \theta_i)^2$

規格化弾丸密度 : $\pi_4 = \rho_t / \rho_p (= \text{const.})$

- 衝突角度が浅くなるにつれて、クレータ一体積も減少
- suzuki et al., 2012のデータと比較すると1桁小さい
➤ クレーター効率悪い

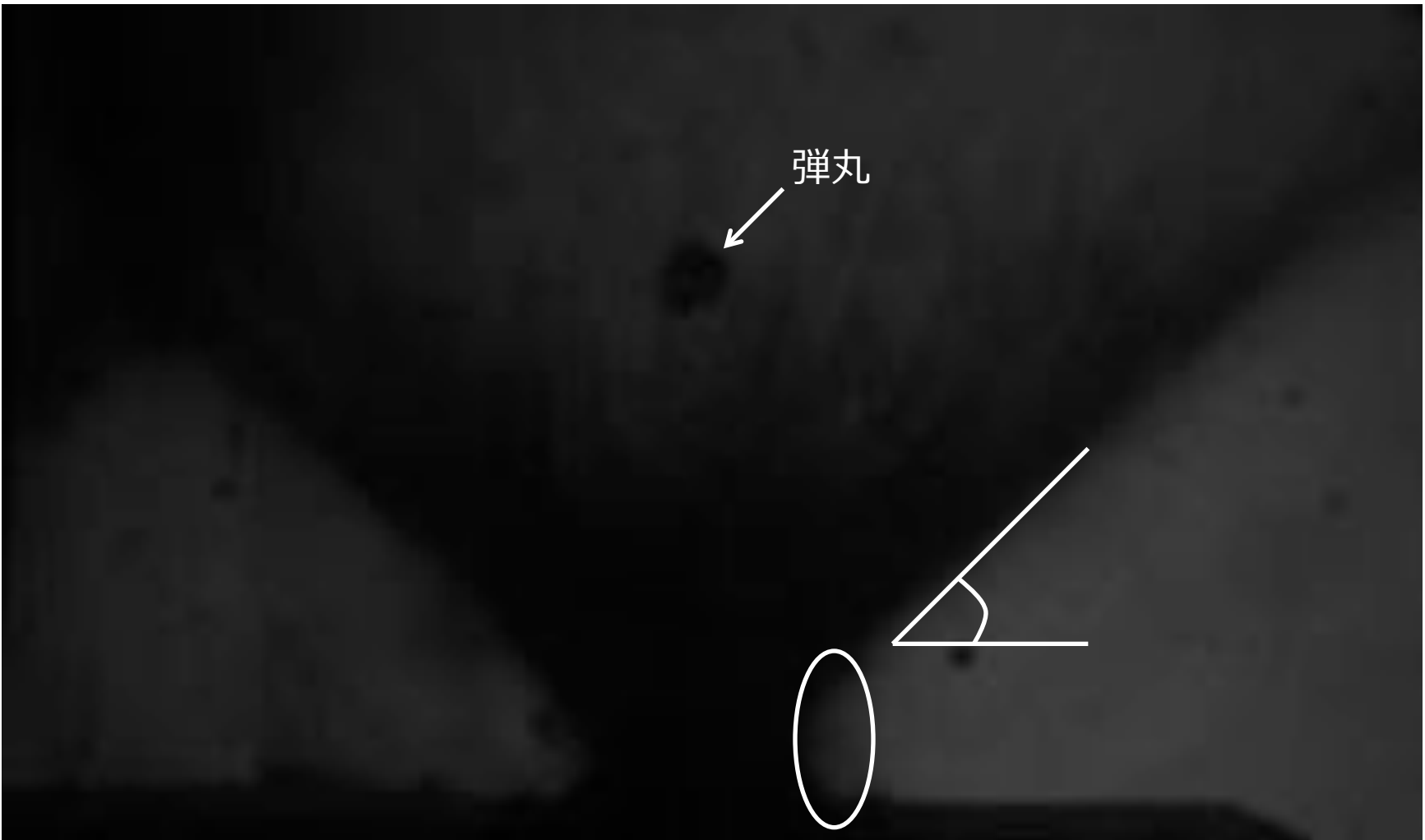


	今回	suzuki et al.
V_i [km/s]	2.4~2.5	2~6.9
弾丸直径 [mm]	7	1~3.2
ρ_t [g/cm ³]	2.24	2.3
Y [MPa]	4.6	4.6
ターゲット	石灰岩	砂岩

- 弾丸の直径及び衝突速度
- 振発性物質が影響?

●, — 今回の実験
■ suzuki et al., 2012 ナイロン弾丸
— suzuki et al., 2012 fitting line

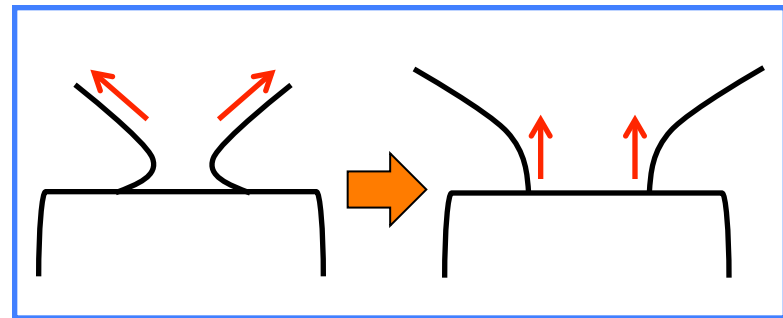
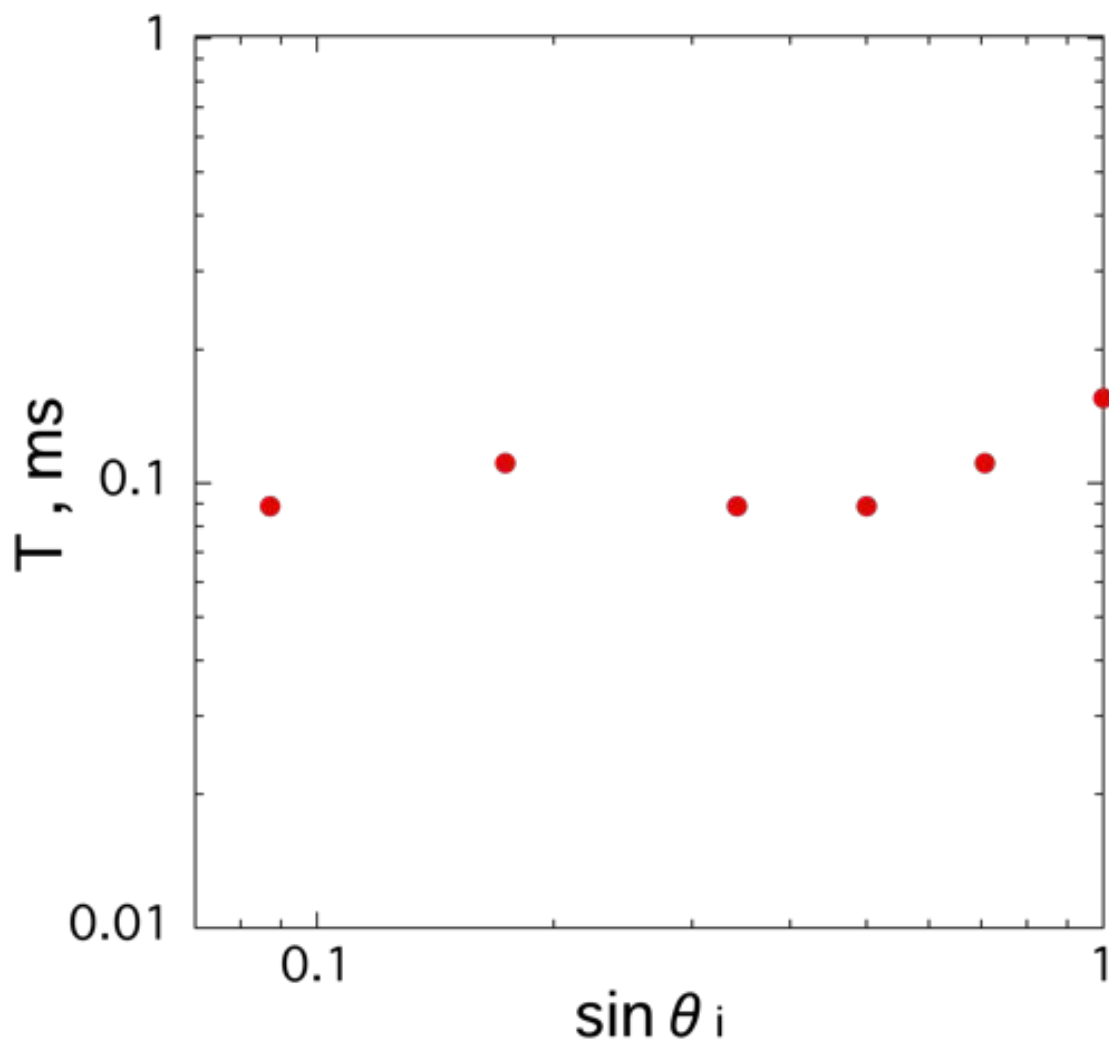
映像から測定したこと



- エジェクタコーンの角度の時間変化
- エジェクタが垂直に出始める時間
- 弾丸の跳ね返り速度、角度

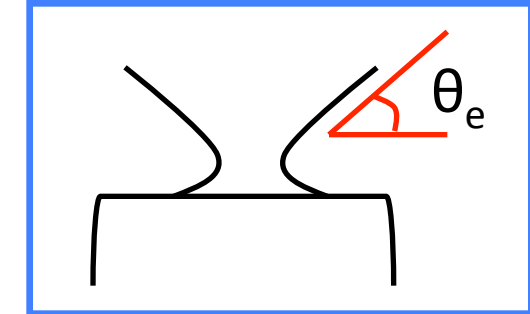
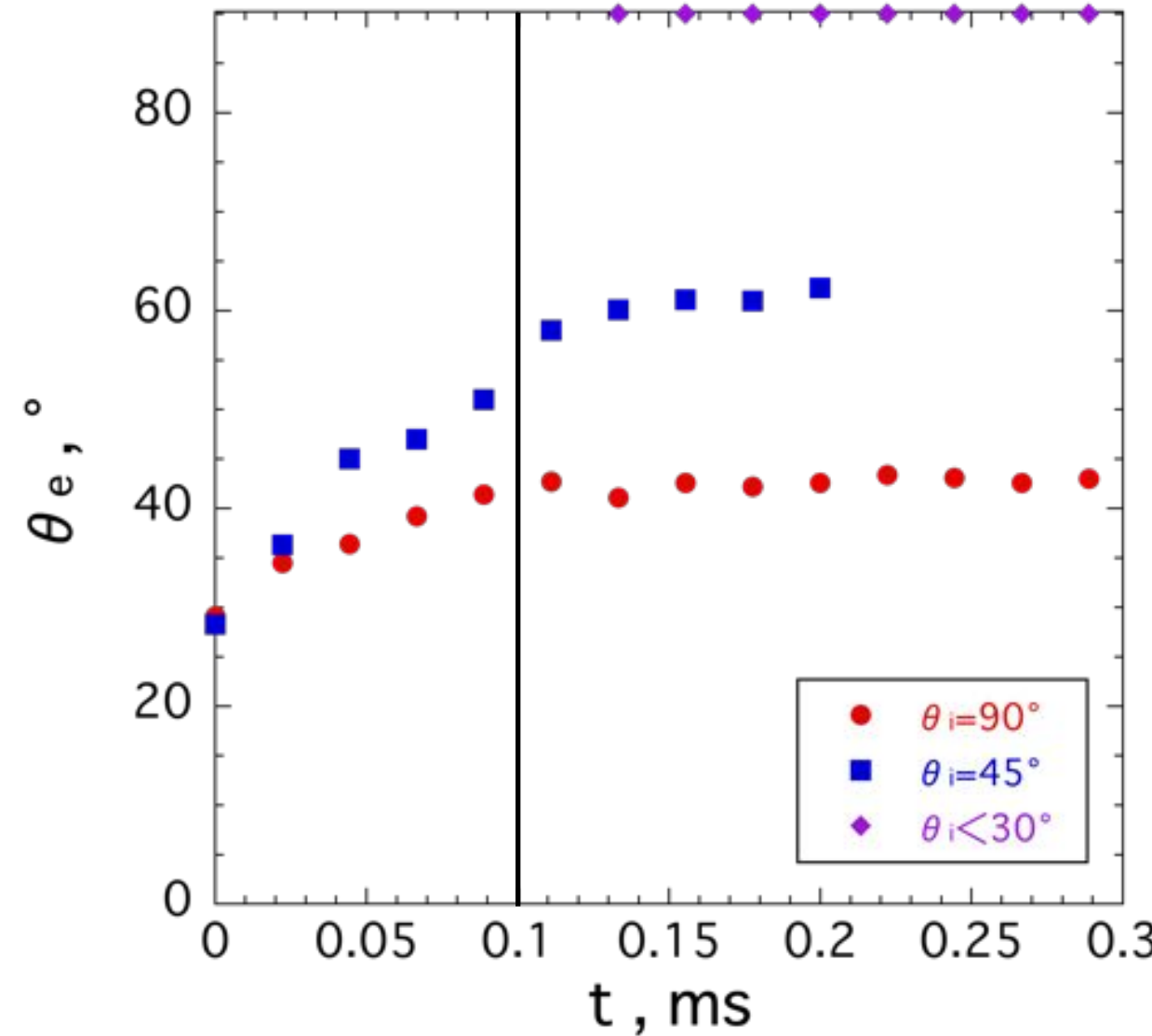
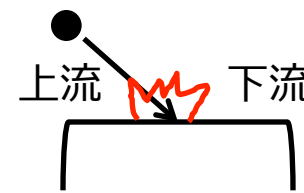
- エジェクタと標的表面がなす角度の時間変化 ($\theta_i=90^\circ$ のみ)

エジェクタが垂直に放出され始める時間 T



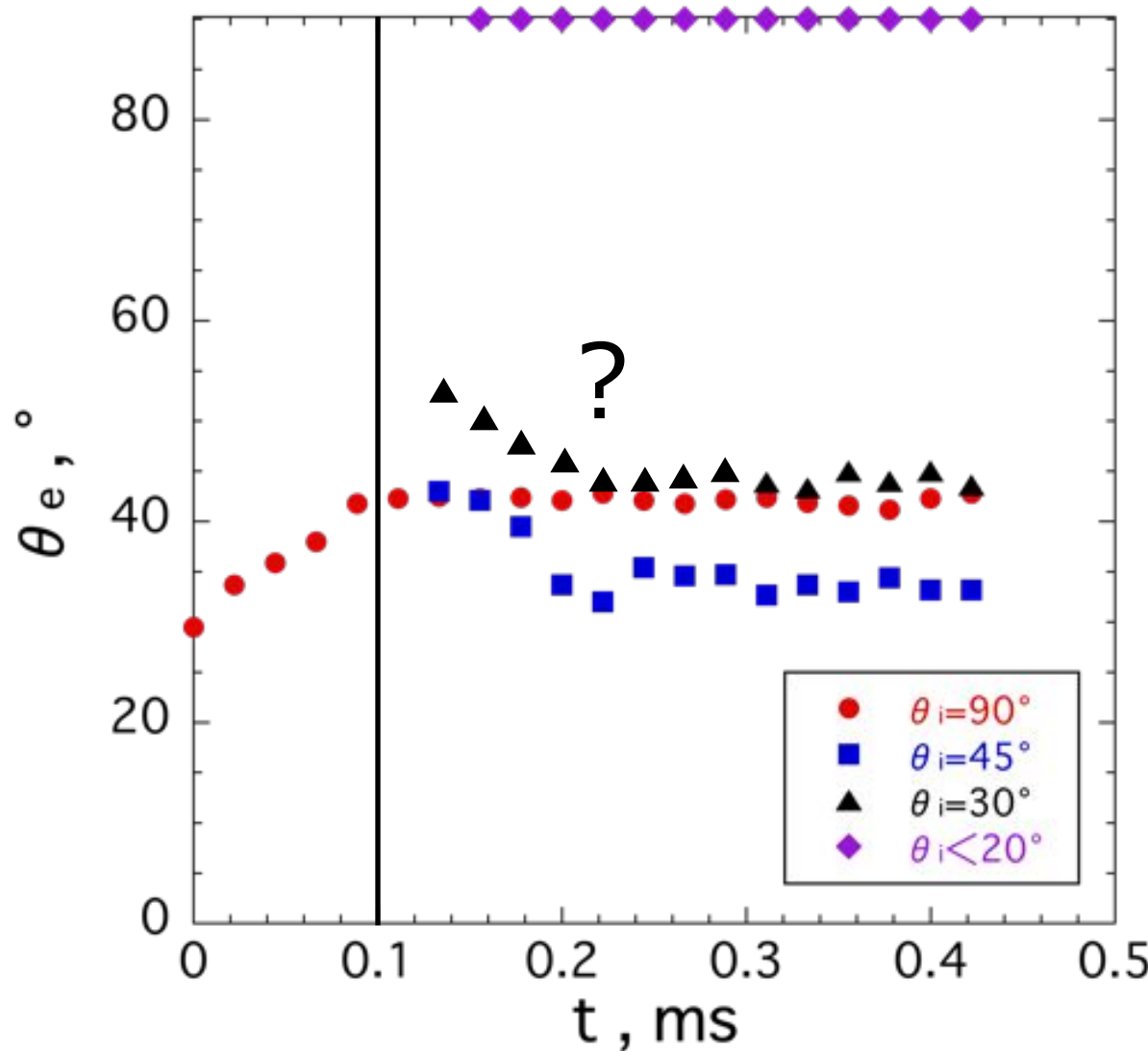
- θ_i によらず、 $T \sim 0.1\text{ms}$ で一定
→ クレーター直徑決定時間は
 θ_i によらず一定
- $\theta_i < 20^\circ$ では垂直にしか
放出されなかつた

エジェクタコーンの角度 θ_e の時間変化：上流



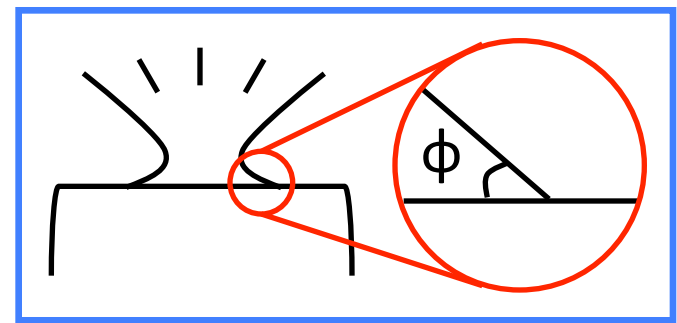
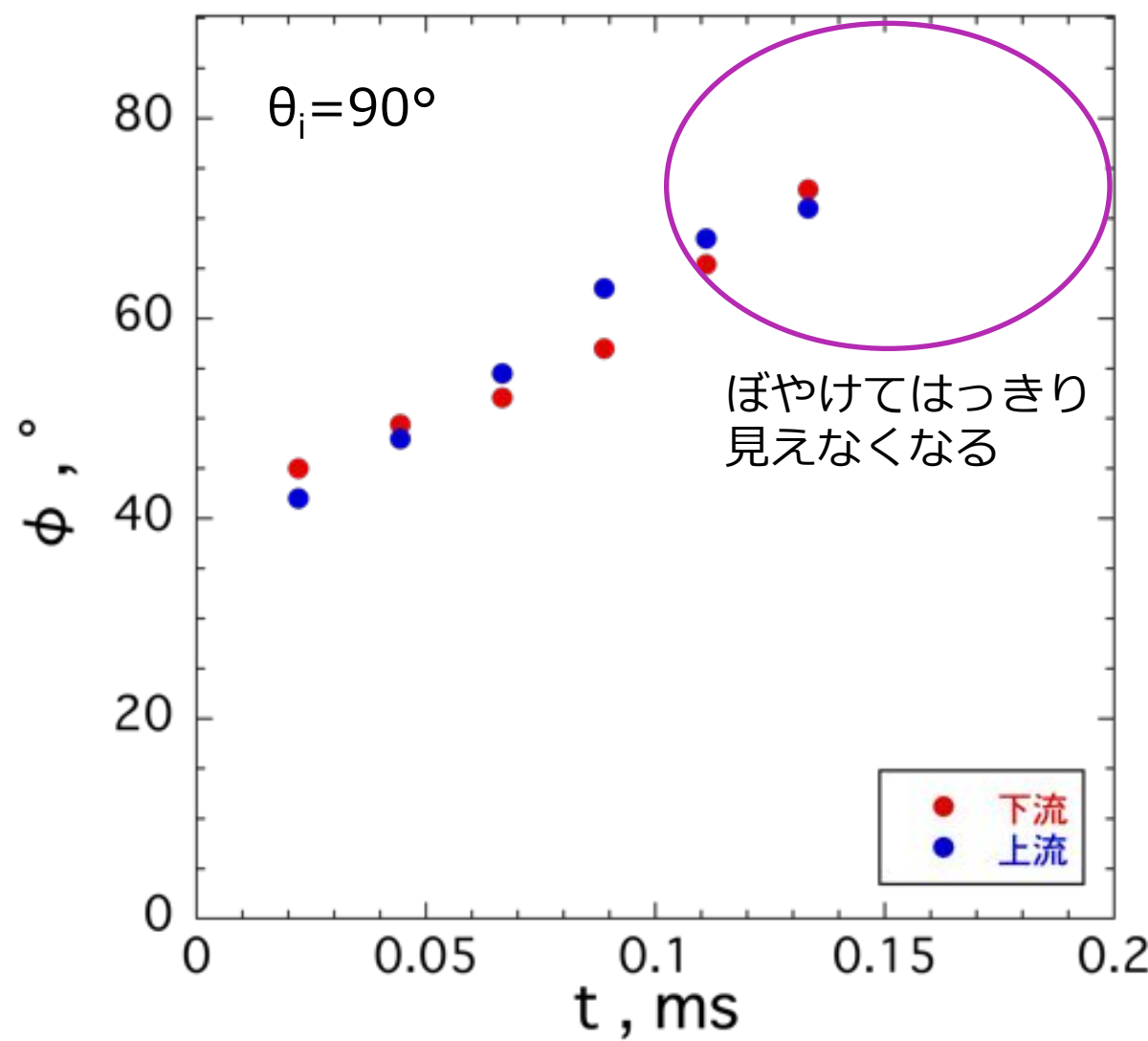
- θ_i 增加
 $\rightarrow \theta_e$ 增加
- $t > \sim 0.1\text{ms}$
 $\rightarrow \theta_e$ 一定
 \rightarrow 垂直になる時間と一致
- $\theta_i < 30^\circ$: 垂直に放出
 \rightarrow コーンはできない

エジェクタコーンの角度 θ_e の時間変化：下流



- $\theta_i = 90^\circ$: 上流と同じ
- $\theta_i = 45^\circ$: θ_e 減少
→衝突後弾丸に水平方向に
引っ張られた?
→その後一定に
- $\theta_i = 30^\circ$: 初めは識別不能
→ $\theta_i = 45^\circ$ と同じ傾向?
- $\theta_i < 20^\circ$: 垂直に放出
→コーンはできない

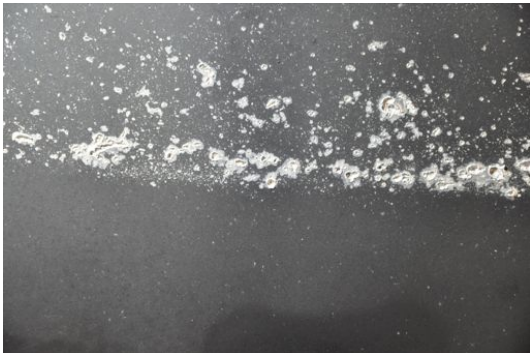
標的表面とエジェクタがなす角θの時間変化



- ・ 時間とともに
クレーターは広がり
角度が立ってくる
- ・ 垂直になる時間
= クレーター形成時間？

水平方向のエジェクタ角度

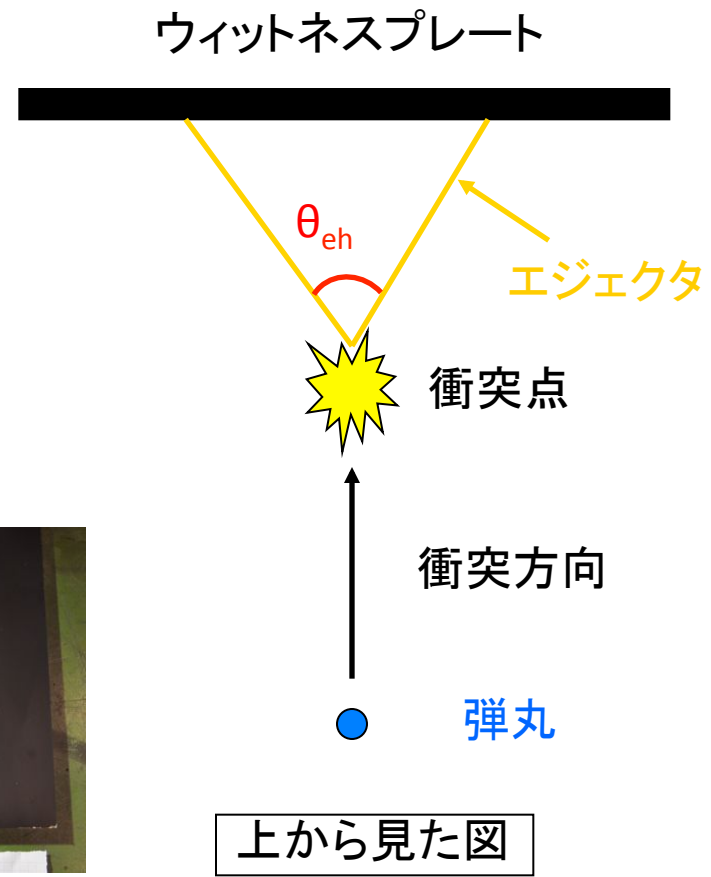
- ◆標的後方にウィットネスプレート(アルミ板)を置き、下流側へのエジェクタを衝突させて、エジェクタの広がりを観察
- ◆衝突角度によってどう変化するか



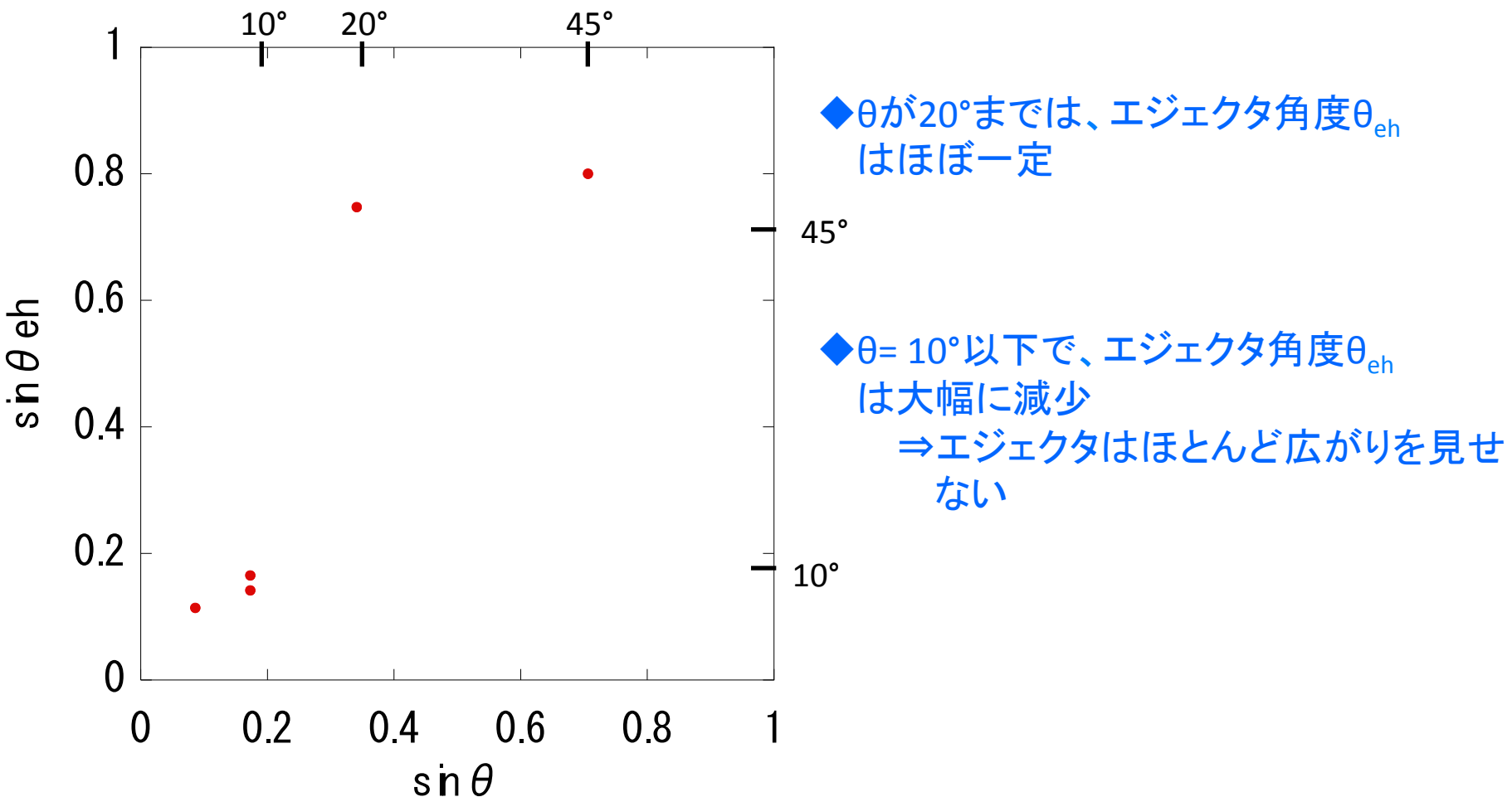
$\theta = 45^\circ$



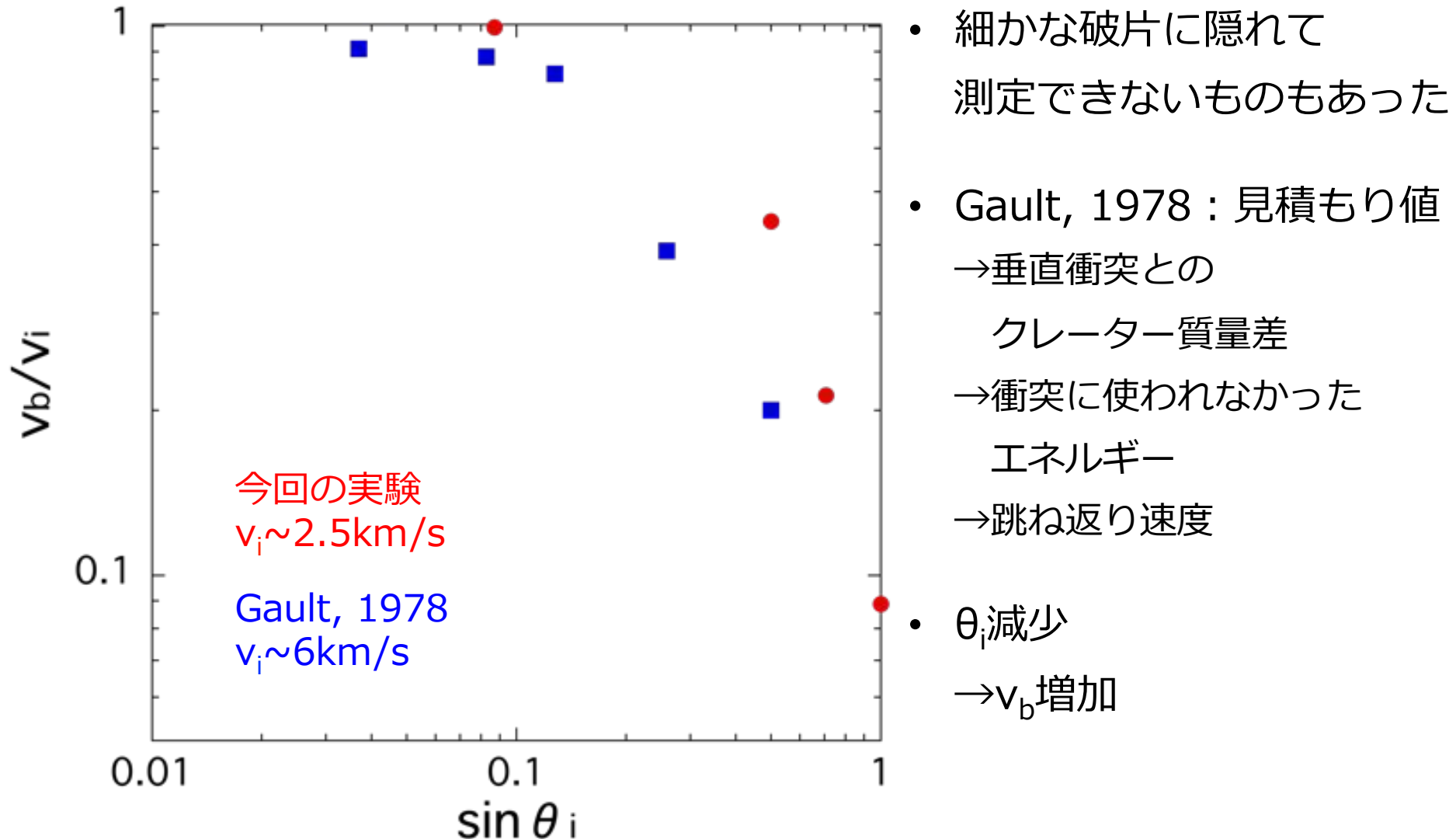
$\theta = 5^\circ$



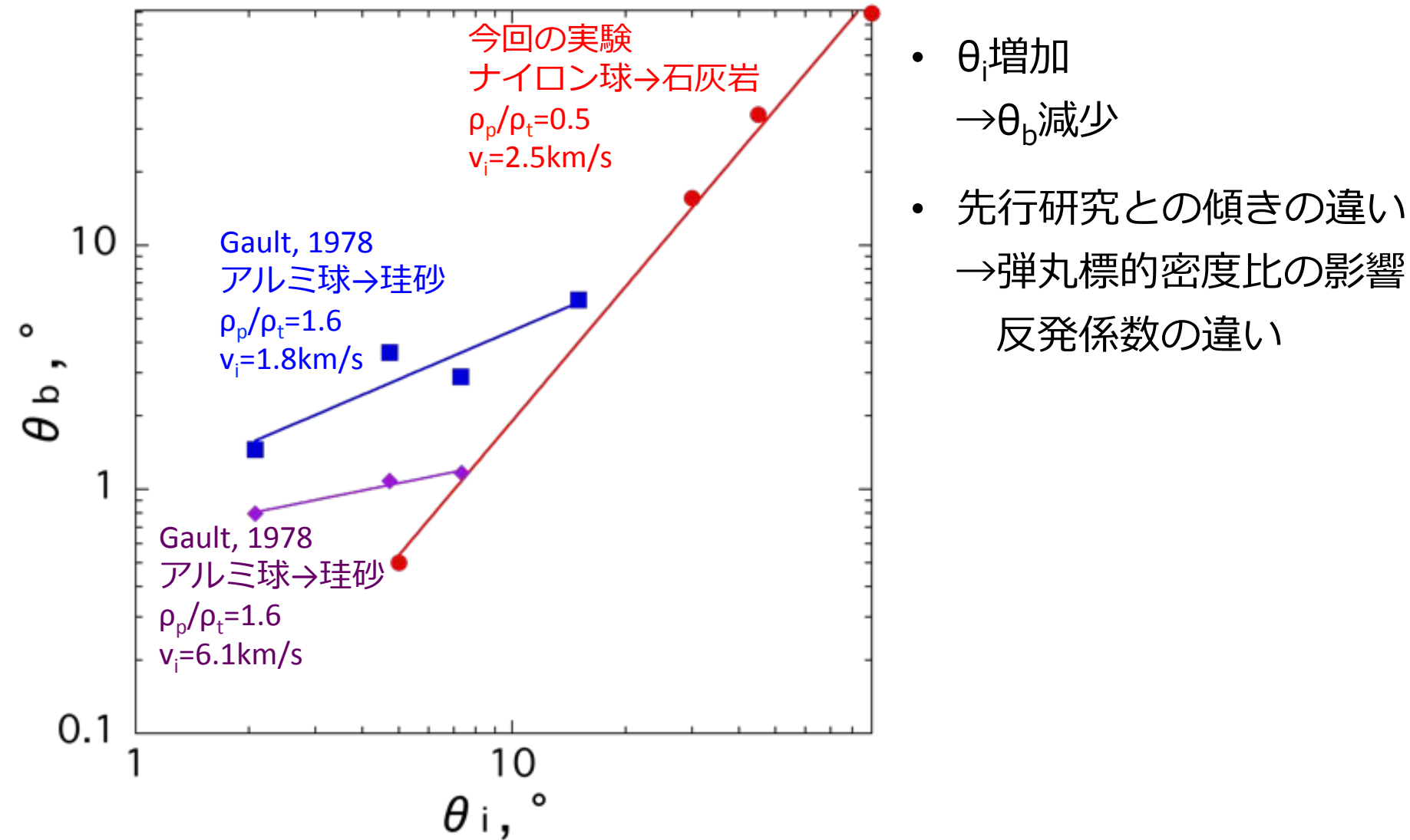
水平方向のエジェクタ角度



弾丸跳ね返り速度 v_b



弾丸跳ね返り角度 θ_b



まとめ

衝突角度	減少	90°
直径比	大きな変化はない	
深さ	減少	MAX
最深点(進行方向)	中心以遠	中心
体積	減少	MAX
エジェクタコーンの角度	減少, ~30°>ではできない	
エジェクタ-ターゲット角度	減少	
エジェクタ角度(水平方向)	10°以下で減少	20~90°で一定
弾丸のはね返り速度	増加	min
弾丸のはね返り角度	減少	MAX

Special Thanks



長谷川 直さん



鈴木 紗子さん

門野 敏彦さん（写真募集中）



中村 昭子さん

黒澤 耕介さん

今回の実習を支えてくださったすべての方々
本当にありがとうございました